



کانی‌سازی و دگرسانی گرمابی سامانه رگهای تجرود، جنوب نیشابور

محسن علیخانی بنقni^۱، غلامحسین شمعانیان^{*}، محمد جعفری زنگلانلو^۲

(۱) گروه زمین‌شناسی، دانشکده علوم، دانشگاه گلستان

(۲) گروه سازمان زمین‌شناسی و اکتشافات معدنی منطقه شمال شرق، گروه اکتشاف

دریافت مقاله: ۱۳۹۱/۵/۵، پذیرش: ۱۳۹۱/۱۰/۲۴

چکیده

سامانه رگهای تجرود در ۱۹۰ کیلومتری جنوب باختری مشهد و در بخش جنوبی زون سیزوار واقع شده است. سنگ دیواره رگه‌ها شامل مجموعه‌های از سنگهای آتشفسانی حدواسط تا اسیدی اتوسن است. کانی‌سازی از نوع پرکننده فضای خالی است و به صورت رگه‌ها، رگه‌چه‌ها و برشهای گرمابی تظاهر دارد. بر پایه ویژگیهای صحرایی و بافتی، سه مرحله اصلی کانی‌سازی تشخیص داده شد. مرحله I به طور عمده از کوارتز، پیریت، کالکوپیریت و مگنتیت تشکیل شده است. مرحله II که دارای همان مجموعه کانی‌ایی مرحله اول است، مهمترین مرحله کانی‌سازی از نظر حجم می‌باشد. مرحله III با نواهای تکراری کوارتز و کلسیت با مقادیر ناچیزی از کانی‌های سولفیدی مشخص می‌شود. دگرسانی گرمابی در اطراف رگه‌ها توسعه یافته و در نزدیکی رگه‌ها از شدت بیشتری برخوردار است. ترسیم شاخص دگرسانی ایشی کاوا (AI) در مقابل شاخص کلریت-کربنات-پیریت (CCPI)، موسوم به نمودار جعبه‌ای دگرسانی، سه روند اصلی دگرسانی را نشان می‌دهد. مجموعه دگرسانی گرمابی کوارتز، آدولاریا، کلریت، ایلیت، کلسیت و اپیدوت که سامانه رگهای تجرود را دربر گرفته، از صعود محلولهای گرمابی با pH نزدیک به خنثی تا کمی قلیابی تشکیل شده است. ویژگیهای کانی‌شناسی، دگرسانی و زمین‌شیمیایی منطقه مورد مطالعه و مقایسه آن با کانسارهای اپی‌ترمال نشان می‌دهد که سامانه رگهای تجرود در یک محیط اپی‌ترمال نوع سولفیدی شدن پایین تشکیل شده است.

واژه‌های کلیدی: اپی‌ترمال، دگرسانی گرمابی، شاخصهای دگرسانی، سولفیدی شدن پایین، تجرود

بین مجموعه‌های دگرسانی و ویژگیهای زمین‌شیمیایی را بر مبنای شیمی کل سنگ مورد بررسی قرار دهد [۹]، کمتر مورد توجه قرار گرفته است [۱۰]. این شاخصها اغلب در کانسارهای سولفید توده‌ای از قبیل کانسارهای روزبری [۹] و هیلیر [۱۱] بررسی شده‌اند. این مقاله سعی دارد تا ماهیت کانی‌سازی و دگرسانی گرمابی سامانه رگهای تجرود واقع در استان خراسان رضوی را بر پایه داده‌های کانی‌شناسی، زمین‌شیمی کانسنگ و شیمی کل سنگ مورد بررسی قرار داده و قابلیت استفاده از شاخصهای دگرسانی را در این سامانه ارزیابی نماید.

سامانه رگهای تجرود با مختصات جغرافیایی $22^{\circ} 58^{\prime}$ طول شرقی و $32^{\circ} 55^{\prime}$ عرض شمالی در ۴۶ کیلومتری شمال غرب شهرستان کاشمر واقع شده است (شکل ۱). مطالعات قبلی در این منطقه شامل بررسیهای زمین‌شناسی در قالب

مقدمه

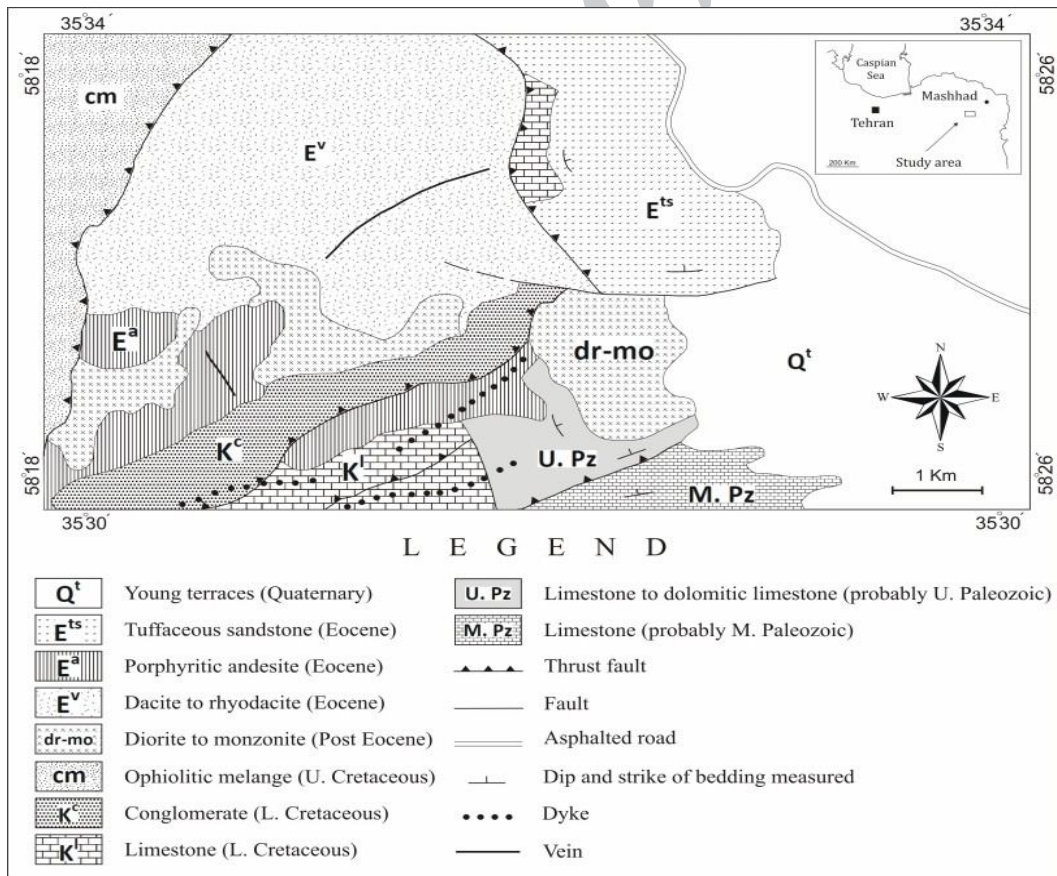
کانسارهای اپی‌ترمال یکی از منابع ارزشمند فلزات پایه و گرانبهای می‌باشند که در شرایط دما و فشار پایین و در ژرفای کمتر از ۱۰۰۰ متر تشکیل می‌شوند [۱]. دگرسانی گرمابی که در نتیجه بر هم کنش محلولهای گرمابی و سنگ دیواره روی می‌دهد [۲]، یکی از پدیده‌هایی است که در بررسی این کانسارها دارای اهمیتی ویژه است. بررسی مجموعه‌های دگرسانی گرمابی می‌تواند اطلاعات سودمندی درباره‌ی ویژگیهای شیمیایی و فیزیکی محلولهای گرمابی ارائه کند [۳] و در تحلیل تکاملی سامانه‌های گرمابی مورد استفاده قرار گیرد [۴]. تاکنون مقالات متعددی درباره‌ی جنبه‌های زمین‌شناسی و کانی‌سازی کانسارهای اپی‌ترمال و مجموعه‌های دگرسانی آنها انتشار یافته است (برای مثال [۱]، [۵]، [۶]، [۷] و [۸]). با این حال، بررسی شاخصهای دگرسانی که قادر است رابطه

قطع نازک و ۲۳ قطع نازک-صیقلی تهیه و به روشهای مرسوم میکروسکوپی مطالعه شد. برای شناسایی کانیهای ناشناخته و تفکیک کانیهای رسی از روش پراش پرتو X (XRD) استفاده شد و تعداد ۵ نمونه با استفاده از دیفرکتومتر فیلیپس مدل 1800 PW توسط شرکت کانساران بینالود مورد بررسی قرار گرفت. کانی آدولاریا در طی مطالعات میکروسکوپی با رنگ‌آمیزی توسط سدیم کبالت نیتریت [۱۴] شناسایی و بهروش XRD تأیید شد. با تلفیق نتایج بافتی و کانی‌شناسی، توالی پاراژنزی کانی‌سازی و مجموعه‌های دگرسانی گرمابی تعیین گردید. برای بررسی شاخصهای دگرسانی و تعیین ویژگیهای زمین‌شیمیایی ماده معدنی به ترتیب غلظت اکسیدهای اصلی در ۱۰ نمونه از سنگ دیواره و غلظت عناصر کمیاب در ۴۳ نمونه از رگه‌های کانی‌سازی به روشن ICP-AES توسط سازمان زمین‌شناسی کشور مورد اندازه‌گیری قرار گرفت.

ورقه زمین‌شناسی شامکان با مقیاس ۱:۱۰۰۰۰۰ [۱۲] و اکتشافات زمین‌شیمیایی ناحیه‌ای بهروش رسوب رودخانه‌ای [۱۲] بوده که به شناسایی ناهنجاریهای فلزات پایه و گرانبهای در منطقه تجوید منجر شده است. در ادامه، این ناهنجاریها توسط سازمان زمین‌شناسی کشور تحت اکتشافات زمین‌شیمیایی تفصیلی در مقیاس ۱:۲۵۰۰۰ قرار گرفته [۱۲] که شناسایی رگه‌های کانی‌سازی را در پی داشته است.

روش مطالعه

برای دست‌یابی به اهداف این پژوهش، مطالعات در دو بخش صحرایی و آزمایشگاهی انجام شد. در بخش صحرایی، تغییرات ریخت‌شناسی، بافتی و کانی‌شناسی در امتداد نیمرخهای عمود بر امتداد رگه‌ها بررسی شد و از بخش‌های مختلف سنگ دیواره و رگه‌ها نمونه‌برداری تصادفی به عمل آمد. در بخش آزمایشگاهی، مطالعات با هدف بررسیهای بافتی، کانی‌شناسی و زمین‌شیمیایی صورت گرفت. برای این منظور، تعداد ۱۲



شکل ۱. نقشه زمین‌شناسی ساده شده منطقه مورد مطالعه. نقشه پایه از [۱۲].

سیلت سنگهای خاکستری تیره، شیل‌های سیلتی نازک لایه خاکستری، سنگ‌آهک ماسه‌ای بیومیکریتی، توف‌های آهکی و سنگ‌آهکهای میکرواسپاری ماسه‌ای فسیل‌دار است.

تظاهر ماده معدنی

کانی‌سازی در منطقه مورد مطالعه از نوع شکافه‌پرکن است که به صورت رگه‌ای (شکل ۳ الف)، رگه‌چه‌ای (شکل ۳ ب) و گاه برشهای گرمابی (شکل ۳ پ و ت) تظاهر دارد. کانی‌سازی در گسلها و شکستگیها صورت گرفته و دارای کنترول ساختاری است. سنگ میزبان رگه‌ها به طور عمده شامل سنگهای آتشفسانی آندزیتی تا داسیتی است که بر اساس داده‌های صحرایی و آزمایشگاهی واحد آندزیتی E^a ^۴ مهمترین میزبان رگه‌های کانی‌سازی محسوب می‌گردد. سنگهای آتشفسانی میزبان در نتیجه رخداد کانی‌سازی متحمل دگرسانی گرمابی شده‌اند که در مجاورت رگه‌ها از شدت بیشتری برخوردار بوده و با دور شدن از رگه‌ها از شدت آن کاسته می‌شود.

سامانه رگه‌ای تجرود از رگه‌های کوارتزی متعددی با راستای غالب شمال غربی-جنوب شرقی و شیب SW 60° تشکیل شده که ضخامت آنها از چندین سانتی‌متر (شکل ۴ الف) تا ۳ متر (شکل ۴ ب) در تغییر است. این رگه‌ها در برخی از نقاط به صورت پیوسته (شکل ۳ الف) و در اغلب موارد به صورت منقطع (شکل ۴ پ) رخمنون داشته و گاه تا ۳۰۰ متر قابل ردیابی می‌باشند. رگه‌های کوارتزی در مراحل پایانی کانی‌سازی توسط رگه‌چه‌های نازک کوارتزی و گاه کلسیتی قطع شده‌اند (شکل ۴ ت).

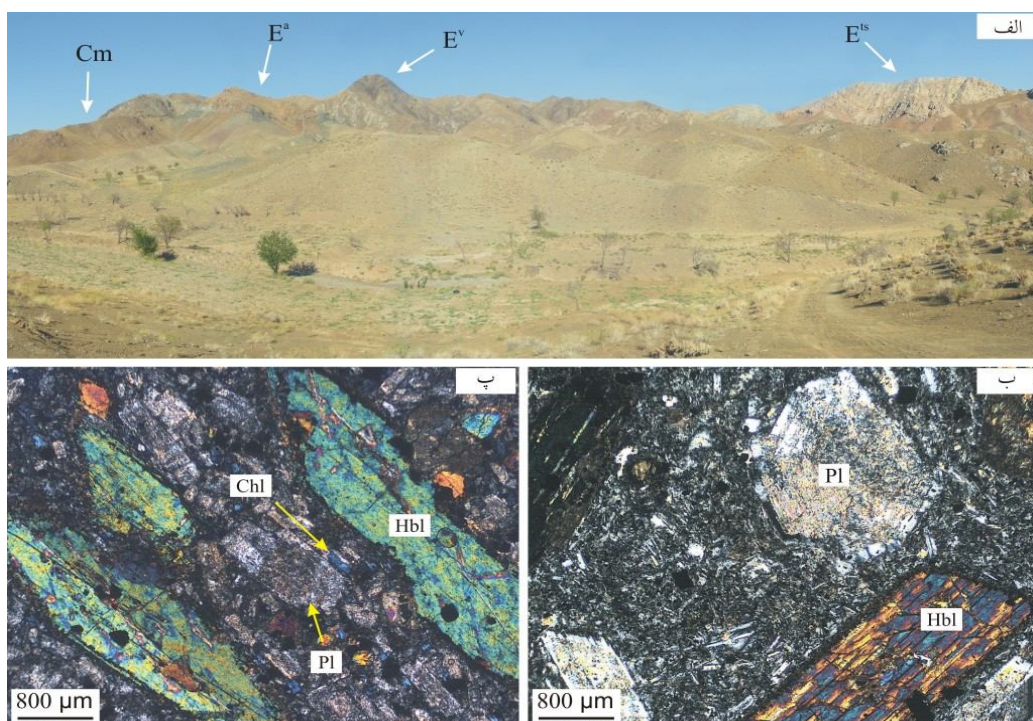
کانی‌شناسی کانسنگ

در منطقه مورد مطالعه، کانی‌شناسی کانسنگ ساده بوده و شامل کوارتز، کلسیت، پیریت، کالکوپیریت، مگنتیت و محصولات دگرسانی برون‌زاد آنها می‌باشد (جدول ۱). پیریت با فراوانی ۵ درصد، فراوانترین کانی سولفیدی در نمونه‌های مورد مطالعه است. این کانی به صورت خودشکل تا نیمه‌خودشکل و با اندازه‌های ۱۰ تا ۱۵۰ میکرون تظاهر دارد (شکل ۵ الف). کالکوپیریت کانی سولفیدی دیگری است که با فراوانی کمتر از پیریت و به صورت بلورهای ریزدانه غیرخودشکل تظاهر دارد (شکل ۵ ب).

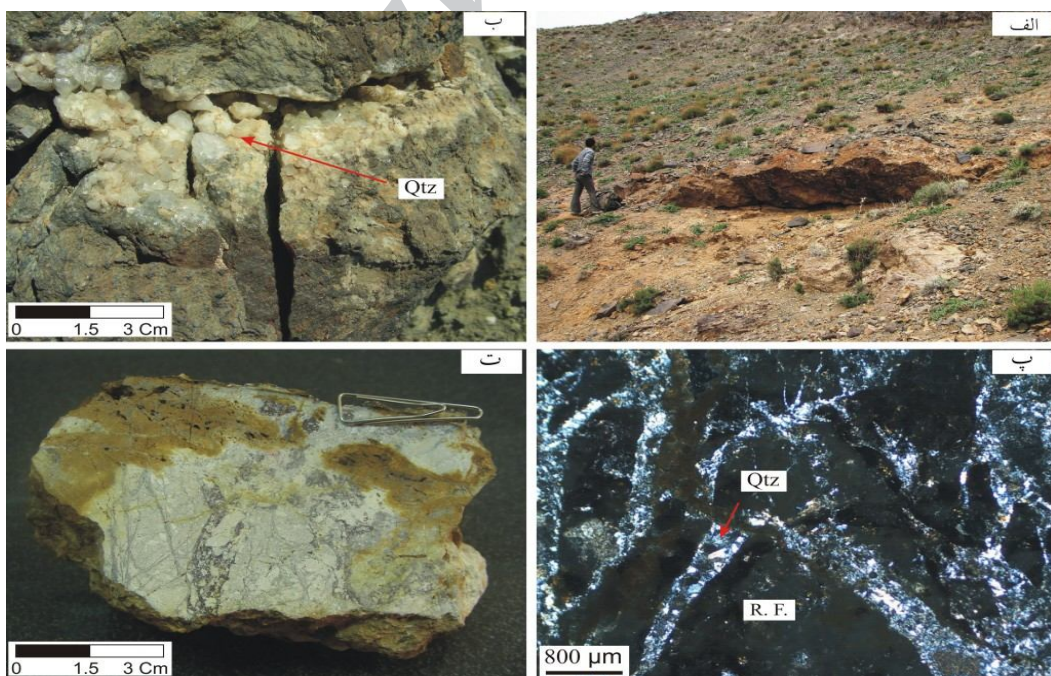
بحث و بررسی زمین‌شناسی

سامانه رگه‌ای تجرود در زون سبزوار و در مجموعه‌ای از سنگهای آتشفسانی و نفوذی ائوسن تشکیل شده است (شکل ۱). زون سبزوار در بردارنده مجموعه‌ای از سنگهای رسوبی و آتشفسانی مزوژوئیک و ترشیاری است که واحد زمین‌ساختی مشخصی را در بخش شمالی گسل درونه تشکیل می‌دهد [۱۵ و ۱۶]. سنگهای آتشفسانی این زون به طور عمده سنگهای آندزیتی کالک‌آلکالن است که اسپیس و همکاران [۱۷] گسترش وسیع آنها را به بالا بودن فشار جزئی O_2 و H_2O و فشار کل ۱۰ تا ۲۰ کیلوبار نسبت داده‌اند. مرز شمالی این زون با حضور آمیزه‌های افیولیتی و سنگهای آتشفسانی آندزیتی تا ریولتی مشخص می‌شود [۱۸].

واحدهای رخمنون یافته در منطقه مورد مطالعه از قدیم به جدید شامل سنگهای کربناتی پالثوزوئیک (U-Pz و M-Pz)، سنگ‌آهکهای کرتاسه (K^I و K^C)، آمیزه‌های افیولیتی (cm)، توده‌های نفوذی (dr-mo)، سنگهای آتشفسانی و نیمه‌آتشفسانی آندزیتی و داسیتی (E^a , E^v و E^{ts}) و آبرفت‌های کواترنری (Q^t) است [۱۲]. در این میان، واحدهای E^a ، E^v و E^{ts} از بیشترین رخمنون برخوردارند (شکل ۲ الف) و توسط توده‌های نفوذی دیوریتی تا موزنونیتی و گاه دایک‌های میکرودیوریتی تا موزنونیتی قطع شده‌اند. واحد E^v که در بخش میانی و شمالی منطقه رخمنون دارد، شامل سنگهای نیمه‌آتشفسانی داسیتی تا ریوداسیتی است که اغلب از درشت‌بلورهای کوارتز، هورنبلند، هیپرستن و پلازیوکلاز در زمینه دانه ریز و میکروولیتی از این کانیها تشکیل شده است. این سنگها بر اثر فرآیندهای گرمابی به مجموعه‌های کلریتی، سریسیتی و رسی دگرسان شده‌اند. واحد پورفیری E^a شامل آندزیت، هورنبلند آندزیت و پیروکسن آندزیت است که به طور عمده از درشت‌بلورهای پلازیوکلاز، هورنبلند و بلورهای به شدت خردشده پیروکسن در زمینه دلریتی اینترسراکل تشکیل شده‌اند (شکل ۲ ب و پ). این واحد در بخش جنوب غربی منطقه مورد مطالعه رخمنون دارد و توسط توده‌های نفوذی دیوریتی تا موزنونیتی قطع شده است و آثاری از دگرسانی گرمابی نشان می‌دهد. واحد E^{ts} که در شمال شرق منطقه رخمنون یافته شامل ماسه‌سنگهای توفی نازک تا متوسطلایه همراه با میان لایه‌های از سیلت‌سنگهای سبز روشن،



شکل ۲. تصاویر مacroscopicی و میکروسکوپی از سنگ میزبان سامانه رگه ای تجرود. (الف) نمای عمومی از واحدهای رخنمون یافته در سطح منطقه (نگاه به جنوب غرب)، (ب) درشت بلورهای پلاژیوکلاز و هورنبلندر زمینه ریزدانه از این کانیها در سنگ میزبان آندزیتی، (پ) درشت بلورهای هورنبلندر سنگ میزبان هورنبلندر آندزیت. اختصارات: E^v = سنگهای نیمه‌آتشفانی داسیتی تا ریوداسیتی، E^a = آندزیت، هورنبلندر آندزیت و پیروکسن آندزیت، E^{ts} = ماسه‌سنگهای توفی، cm = آمیزه‌های افیولیتی، Chl = پلاژیوکلاز، Hbl = هورنبلندر، Pl = کلریت. تصاویر میکروسکوپی در نور عبوری پلاریزه تهیه شده است.



شکل ۳. تصاویر مacroscopicی و میکروسکوپی از رخداد کانی‌سازی در منطقه مورد مطالعه. (الف) تظاهر رگه‌ای کانی‌سازی، (ب) تظاهر رگه‌های همراه با بافت شانه‌ای، (پ) برش گرمابی متکل از قطعات سنگی و سیلیسی در نمونه‌های میکروسکوپی (نور عبوری پلاریزه)، (ت) برش گرمابی در نمونه‌های مacroscopicی. اختصارات: Qtz = کوارتز، R.F. = قطعه سنگی.



شکل ۴. نمایی از انواع رگه‌های کانی‌سازی در منطقه مورد مطالعه. الف) رگه‌های نازک کوارتزی، ب) رگه‌های ضخیم کوارتزی، پ) رخنمون رگه‌های کانی‌سازی به صورت منقطع (خط چین زرد)، ت) رگه‌چه‌های نازک که در مراحل پایانی کانی‌سازی تشکیل شده‌اند.

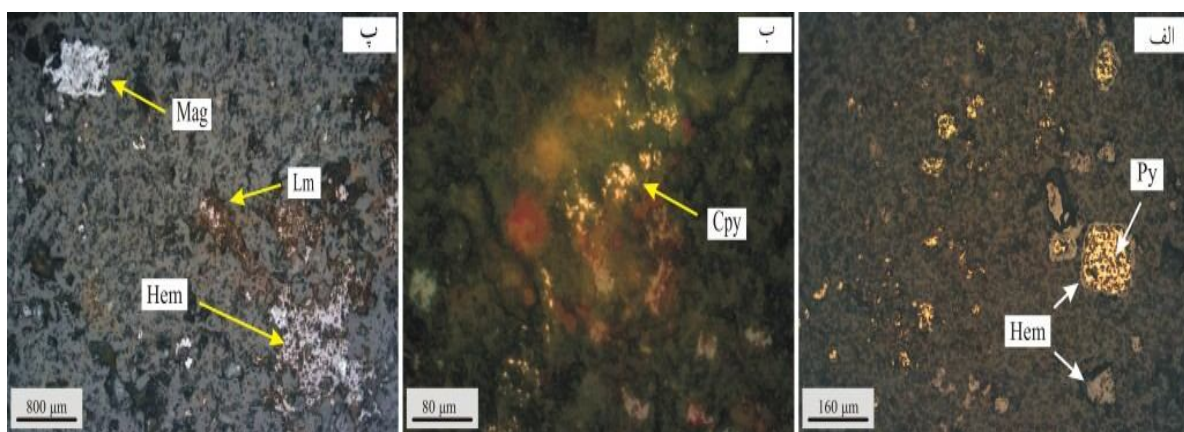
اکسیدها و هیدروکسیدهای آهن مانند گوتیت، لیمونیت و هماتیت از محصولات دگرسانی برون‌زاد هستند که به فراوانی در بخش اکسیدی جانشین پیریت شده‌اند و گاه در فضای خالی کانسنسگ و سنگ دیواره یافت می‌شوند. هماتیت اغلب در حاشیه بلورهای پیریت دیده می‌شود و در برخی از نمونه‌ها به طور کامل جانشین پیریت شده است.

مگنتیت یکی از کانیهای هیپوژن اولیه کانسنسگ است که به صورت بلورهای خودشکل تا نیمه خودشکل و اندازه ۴۰۰-۸۰۰ میکرون و فراوانی ۵ درصد سایر کانیهای کانسنسگ را همراهی می‌کند (شکل ۵ پ). این کانی در برخی از سامانه‌های اپیترمال مانند گلدن گراس واقع در نیوزیلند [۱۹] به عنوان کانی اولیه گزارش شده است.

جدول ۱. کانیهای موجود در رگه‌های کوارتزی و هاله‌های دگرسانی سامانه رگه‌ای تجرود.

کانیها	فراآنی	منشأ	محل تشكیل	کانیها	فراآنی	منشأ	محل تشكیل	کانیها	فراآنی	منشأ
سولفیدها										
V-W	H	M	پیریت	V/W	H	S				آدولاریا
V	H	R	کالکوپیریت	W	H	A				کلربیت
			سولفات‌ها	V/W	H	R				ایبلیت
V-W	S	R	ناتروجاروسیت	V/W	H/S	A				کافولینیت
			اکسید-هیدروکسیدهای آهن	V/W	H/S	A				مونتموریلونیت
V-W	S	M	هماتیت	V/W	H	M				اپیدوت
V/W	S	R	گوتیت	V/W	H	A				کوارتر
V/W	S	M	لیمونیت							کربنات‌ها
W	H	M	مگنتیت	V/W	H	A				کلسیت

اختصارات: A = فراآنی بالا (>۱۰٪)، M = فراآنی متوسط (۱۰-۱٪)، S = فراآنی کم (<۱٪)، H = منشأ برون‌زاد، W = سنگ میزبان، V = رگه سیلیسی.



شکل ۵. تصاویر میکروسکوپی از کانهای اصلی شناسایی شده در کانسنگ. (الف) بلورهای خودشکل تا نیمه خودشکل پیریت که از حاشیه در حال تبدیل به هماتیت می‌باشند، (ب) بلورهای غیر خودشکل کالکوپیریت، (پ) بلورهای خودشکل مگنتیت همراه با محصولات دگرسانی بروزنزاد. اختصارات: Py = پیریت، Hem = هماتیت، Cpy = کالکوپیریت، Lm = مگنتیت، Mag = لیمونیت.

کوارتز، پیریت، مگنتیت و کالکوپیریت در رگه‌های کوارتزی و تشکیل کانی‌ای گرمابی از قبیل کوارتز، آدولاریا، کلریت و اپیدوت در سنگ دیواره مشخص می‌شود.

بر اساس بررسیهای صحرایی و همراهیهای کانی‌شناسی و بافتی سه مرحله کانی‌سازی در توالی پارازنزی سامانه رگه‌ای تجربه شد (جدول ۲). مرحله اولیه با کانی‌سازی

جدول ۲. توالی پارازنزی کانی‌سازی و کانیهای دگرسانی در سامانه رگه‌ای تجربه شد.

برونزاد	درونزاد			مرحله کانیها
	پسین	اصلی	اولیه	
		-----	-----	کوارتز
		-----	-----	پیریت
		-----	-----	کالکوپیریت
		-----	-----	مگنتیت
		-----	-----	آدولاریا
		-----	-----	کلسیت
		-----	-----	کلریت
		-----	-----	اپیدوت
		-----	-----	ایلیت - سریسیت
		-----	-----	کاثولینیت
		-----	-----	مونتموریلوبنیت
		-----	-----	هماتیت
		-----	-----	گوتیت
	----	----	----	لیمونیت

حاصل از میغان بخارهای داغ یکی از عوامل مؤثر در تشکیل کاثولینیت در سامانه‌های گرمابی اپی‌ترمال است [۸]. در مرحله دوم کانی‌سازی که به عنوان مرحله اصلی در نظر گرفته

حضور آدولاریا از شواهد وقوع جوشش در سامانه‌های گرمابی اپی‌ترمال است که با خروج بخارهای داغ غنی از آب و مواد فرار باعث نهشت فلزات می‌گردد [۸]. محلولهای اسیدی

آرسنیک، مس، سرب، آنتیموان و روی به ترتیب ۶۲، ۱۰۰۲، ۱۰۷، ۲۱۸۸ و ۳۲۴۲ بخش در میلیون و میانگین غلظت طلا و نقره به ترتیب ۲۱۰ و ۶۰۰ بخش در بیلیون است. پایین بودن غلظت فلزات پایه و گرانبهای با نتایج حاصل از مطالعات کانی‌شناسی کانسنگ همخوانی داشته و پیشنهاد کننده شوری پایین محلولهای گرمابی است [۲۰]. بررسی همبستگی پیرسون بین این عناصر نشان‌دهنده بیشترین همبستگی Ag-Zn، Ag-Sb، Sb-Pb، Zn-Sb، Zn-Pb، Ag-Zn، Ag-Pb و Ag-Pb به ترتیب با ضریب همبستگی ۱، ۰/۹۳۷، ۰/۹۳۶، ۰/۸۹۸، ۰/۸۵۳ و ۰/۸۵۲ می‌باشد (جدول ۳). خوشبندی داده‌های تجزیه شیمیایی بر مبنای روش وارد نشان‌دهنده قرارگیری عناصر Pb-Zn و Pb-Au در یک خوش است که با همبستگی مثبت بین این عناصر همچوپانی دارد.

شده، تشکیل کوارتز ادامه یافته و به تشکیل رگه‌های ضخیم کوارتز همراه با پیریت، کالکوپیریت و مگنتیت انجامیده است. آدولاریا، کلسیت، کلریت، اپیدوت و سریسیت-ایلیت از محصولات دگرسانی گرمابی در این مرحله‌اند. سرانجام، مرحله پسین شامل رگه‌چهای نازک و متناوب کوارتز و کلسیت، مقادیر ناچیزی پیریت و کالکوپیریت و کانیهای کائولینیت، مونتموریلونیت، سریسیت-ایلیت، کلریت و اپیدوت به عنوان محصولات دگرسانی گرمابی است. اکسیدها و هیدروکسیدهای آهن ثانویه شامل هماتیت، گوتیت و لیمونیت در مرحله برون‌زاد و از دگرسانی کانیهای سولفیدی تشکیل شده‌اند.

زمین‌شیمی کانسنگ

نتایج تجزیه شیمیایی عناصر کمیاب در ۴۳ نمونه از رگه‌های کوارتز نشان می‌دهد که مقدار میانگین غلظت عناصر

جدول ۳. ماتریس همبستگی پیرسون بین عناصر کمیاب اندازه‌گیری شده در رگه‌های کوارتزی منطقه مورد مطالعه.

همبستگیهای مثبت در سطح اطمینان ۹۹٪ بر جسته شده‌اند.

	Au	Ag	As	Cu	Pb	Sb	Zn
Au	1						
Ag	۰/۱۰۰	1					
As	-۰/۰۱۴	۰/۳۲۶	1				
Cu	-۰/۰۶۶	۰/۴۳۱	۰/۵۵۸	1			
Pb	-۰/۰۱۵	۰/۸۵۲	۰/۰۱۵	۰/۲۵۵	1		
Sb	-۰/۰۲۵	۰/۸۹۸	۰/۳۴۳	۰/۴۴۵	۰/۹۳۶	1	
Zn	-۰/۰۱۵	۰/۸۵۳	۰/۰۱۸	۰/۲۵۷	۱/۰۰۰	۰/۹۳۷	1

نشان‌دهنده دگرسانی گرمابی به دو صورت جانشینی کانیهای قبلی و نهشت مستقیم در فضاهای خالی و شکستگی‌ها است. بر اساس بررسیهای کانی‌شناسی به روش‌های میکروسکوپی و XRD کانیهای کوارتز، آدولاریا، کلسیت، پیریت، کلریت، اپیدوت، کائولینیت و مونتموریلونیت از مهمترین محصولات دگرسانی گرمابی در این منطقه‌اند (جدول ۱). رخداد و توزیع زمانی و مکانی این کانیها نشانگر افزایش شدت دگرسانی در اطراف رگه‌های کوارتز است که با حضور کوارتز، آدولاریا، ایلیت و سریسیت مشخص می‌شود. با دور شدن از رگه‌ها از شدت دگرسانی کاسته شده و در فاصله‌ی دورتر از رگه‌ها کانیهای کلریت، اپیدوت و کلسیت جانشین کانیهای اولیه شده

دگرسانی گرمابی

دگرسانی گرمابی شامل مجموعه تغییرات کانی‌شناسی، بافتی و ایزوتوبی سنگ دیواره است که در نتیجه برهم‌کنش سنگ دیواره و محلولهای گرمابی روی می‌دهد [۲]. تغییرات دما، فشار و ترکیب شیمیایی حاصل از این واکنشها می‌توانند به جانشینی کانیهای اولیه توسط کانیهای ثانویه گرمابی منجر شوند. بررسی مجموعه‌های دگرسانی گرمابی اطلاعات ارزشمند درباره سرگذشت کانی‌سازی ارائه می‌نماید که می‌توان از آن در بازسازی شرایط دمایی، زمین‌شیمیایی و ساختمنی استفاده کرد [۷].

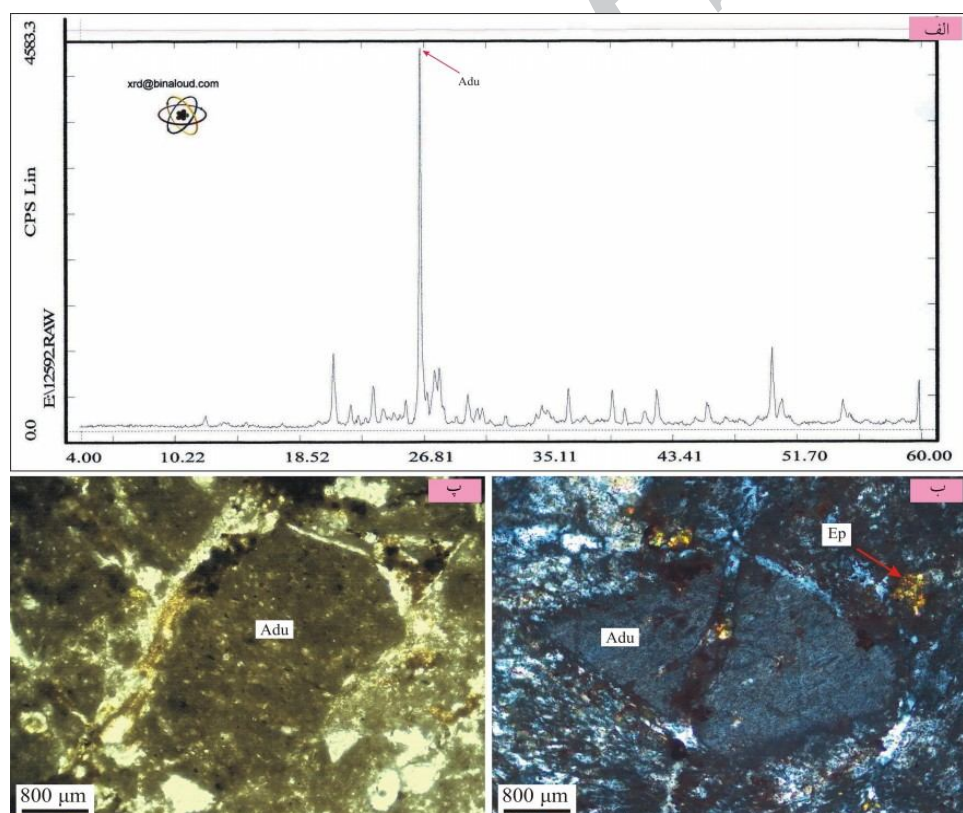
مطالعات پتروگرافی و کانی‌شناسی در سامانه رگه‌ای تجورود

کانی نشان‌دهنده پدیده جوشش در اعمق کم و میعان بخارات داغ اسیدی است [۸ و ۲۱].

کوارتز یکی از کانیهای گرمابی موجود در سنگ دیواره نزدیک رگه‌های کانی‌سازی است که گاه تا ۱۰ درصد حجمی از سنگ را به خود اختصاص می‌دهد. این کانی اغلب به صورت بلورهای نیمه‌خودشکل ریزدانه در شکستگیها و فضاهای خالی سنگ مشاهده می‌شود که نشان‌دهنده نهشت مستقیم آن است (شکل ۷ الف و خ). بر اساس نتایج این مطالعه، فراوانی کوارتز با نزدیکشدن به رگه‌ها افزایش می‌یابد. به نظر می‌رسد فراوانی این کانی که در اغلب کانسارهای اپیترمال در ارتباط با شکستگیها و فضاهای خالی تشکیل می‌شود و ارتباط آشکاری با نفوذپذیری سنگ دیواره نشان می‌دهد [۴]، منطبق بر افزایش نفوذپذیری ثانویه ناشی از عملکرد نیروهای زمین‌ساختی بوده است.

است. بررسی مجموعه‌های دگرسانی دلالت بر دگرسانیهای سیلیسی، سریسیتی، پروپیلیتی و رسی در منطقه مورد مطالعه دارد.

آدولاریا تنها فلدسپات گرمابی پتاسیم‌دار است که در رگه‌ها و برشهای گرمابی مشاهده شد. این کانی بر پایه مطالعات میکروسکوپی شناسایی شد و حضور آن با رنگ‌آمیزی به کمک سدیم کبالت نیتریت و مطالعات پراش پرتو ایکس مورد تأیید قرار گرفت (شکل ۶). این کانی با فراوانی حدود ۵ درصد حجمی، به صورت بلورهای ریز بلور گرمابی یافت می‌شود. تشکیل آدولاریا که در شرایط pH نزدیک به خنثی تا قلیایی صورت می‌گیرد و از کانیهای شاخص در کانسارهای اپیترمال گروه سولفیدی‌شدن پایین است [۸]، دلالت بر وجود مقادیر معنابهی از پتاسیم در محلول گرمابی دارد [۱۰]. حضور این



شکل ۶. الف) نمودار پراش پرتو ایکس برای شناسایی آدولاریا، ب) تصویر میکروسکوپی آدولاریا در نور عبوری پلاریزه، پ) تصویر میکروسکوپی آدولاریا پس از رنگ‌آمیزی در نور عبوری عادی. اختصارات: ، Adu = آدولاریا، Ep = اپیدوت.

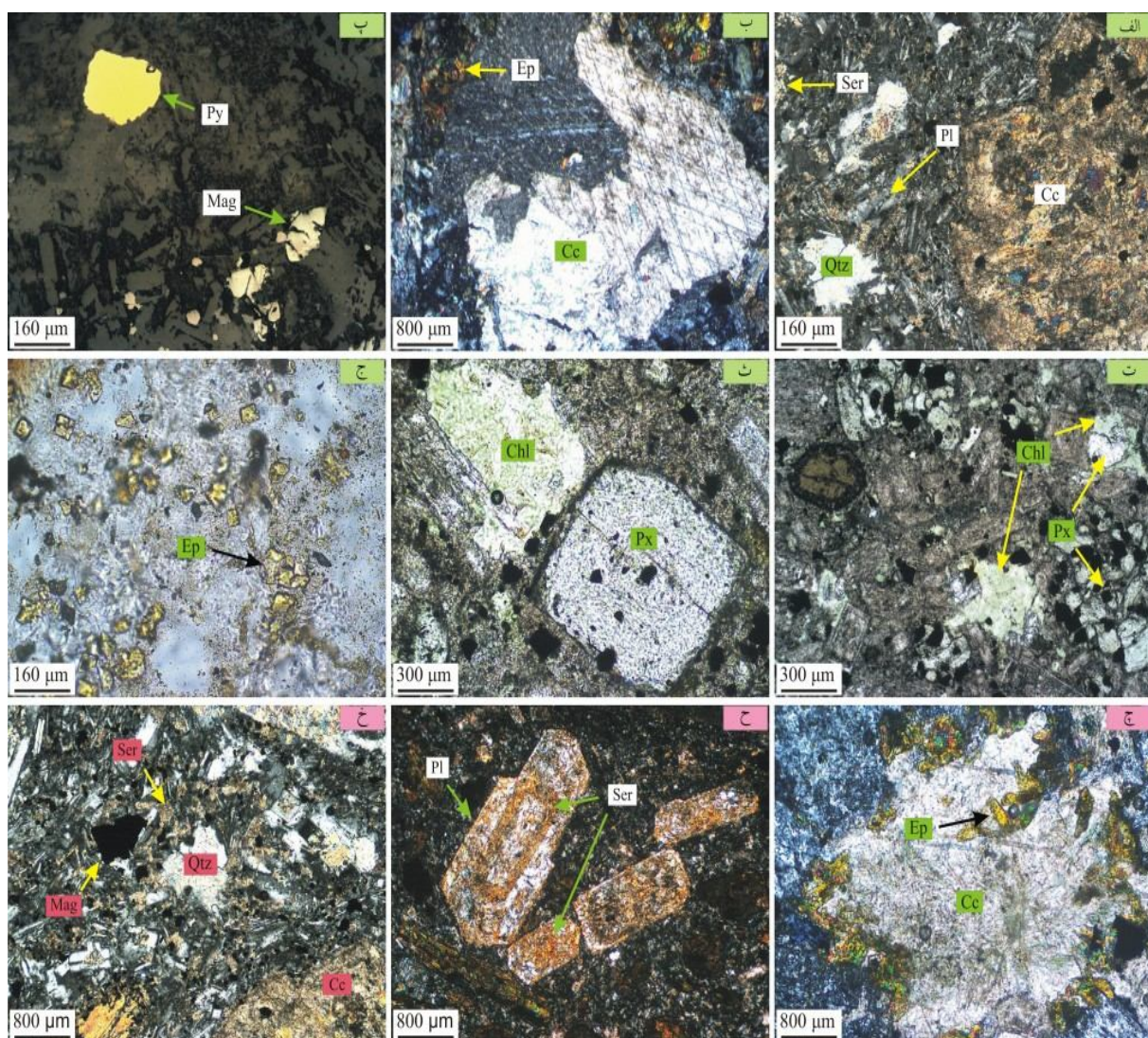
تشکیل می‌شود [۲۲]. در منطقه مورد مطالعه، سریسیت و ایلیت با فراوانی بالغ بر ۱۰ درصد حجمی به طور عمده

سریسیت نام عمومی اعضای دانه ریز گروه میکا به خصوص مسکویت است که در کانسارهای اپیترمال در شرایط نسبتاً اسیدی و در محدوده دمایی ۲۰۰ تا ۲۵۰ درجه سانتی‌گراد

حجمی در بین کانیهای اصلی سنگ دیواره حضور دارد. در انواع جانشینی، کانیهای پلاژیوکلاز و گاه هورنبلند را جانشین کرده که در این صورت دارای تجمعات ریزدانه است. حضور کلسیت در سامانه‌های گرمابی به غلظت بالای CO_2 نسبت داده می‌شود که باعث افزایش قلمرو پایداری کلسیت و کاهش نسبت $a_{\text{Ca}}^{+2}/a_{\text{H}}^+$ می‌شود [۵].

جانشین پلاژیوکلازها (شکل ۷ ح) و گاه در زمینه سنگ (شکل ۷ الف خ) شده‌اند.

کلسیت یکی از محصولات رایج دگرسانی گرمابی در نمونه‌های مورد مطالعه است که به دو صورت پرکننده فضای خالی (شکل ۷ ب) و جانشینی در بطن کانیهای قبلی (شکل ۷ الف و خ) تظاهر دارد. این کانی در انواع پرکننده فضای خالی بهصورت بلورهای درشت‌دانه و با فراوانی کمتر از ۱۰ درصد



شکل ۷. تصاویر میکروسکوپی از رویدادهای دگرسانی گرمابی و محصولات آن. (الف) کوارتزهای ریزدانه بهصورت پرکننده فضای خالی و جانشینی کلسیت در بطن پلاژیوکلازها، (ب) پرشدگی فضای خالی توسط کلسیت، (پ) پیریت در متن سنگ دیواره، (ت) کلریت بهصورت پرکننده فضای خالی (مرکز) و جانشینی به جای پیروکسن (گوشه سمت راست)، (ث) کلریت بهصورت جانشینی در بطن کانی پلاژیوکلاز، (ج) تجمعات دانه‌ای اپیدوت در زمینه سنگ، (چ) وجود اپیدوت بهصورت پرکننده فضای خالی همراه با کلسیت، (ح) جانشینی پلاژیوکلازها توسط سریسیت، (خ) سریسیت درون فضاهای خالی. اختصارات: Qtz = کوارتز، Pl = پلاژیوکلاز، Cc = کلسیت، Ser = سریسیت، Ep = اپیدوت، Py = پیریت، Mag = مگنتیت، Chl = کلریت، Px = پیروکسن. تصاویر ت، ث، ج در نور عبوری عادی، تصویر پ در نور انعکاسی عادی و دیگر تصاویر در نور عبوری پلاریزه گرفته شده‌اند.

دیواره و ترکیب سنگ‌شناسی عمدتاً آندزیتی آن مانع از تشکیل حجم وسیعی از محلولهای میان یافته شده است. پیریت یکی از محصولات دگرسانی گرمابی است که در سنگ دیواره سامانه رگه‌ای تجرود مشاهده می‌شود. این کانی با فراوانی حدود ۵ درصد حجمی به صورت بلورهای خودشکل تا نیمه‌خودشکل در فضاهای خالی (شکل ۷ پ) و به صورت غیرخودشکل در بطن کانیها و زمینه سنگ جانشین شده است.

شاخصهای دگرسانی

ماهیت دگرسانی گرمابی و ویژگیهای زمین‌شیمیایی آن دارای اهمیت زیادی در اکتشاف کانسارهای گرمابی است. برای درک بهتر دگرسانی گرمابی و تغییرات زمین‌شیمیایی ایجادشده در سامانه‌های اپی‌ترمال می‌توان از داده‌های تجزیه‌ی شیمیایی کل سنگ و نمودار جعبه‌ای دگرسانی که تلفیقی از شاخص دگرسانی ایشی‌کاوا (AI) و شاخص دگرسانی کلریت-کربنات-پیریت (CCPI) است، استفاده کرد [۱۰]. اگرچه این شاخصها و نمودار جعبه‌ای دگرسانی برای بررسی کانسارهای سولفید توده‌ای مطرح و مورد استفاده قرار گرفته است، با این حال مطالعات انجام‌شده حکایت از قابلیت آنها در بررسی و توصیف دگرسانیهای کانسارهای اپی‌ترمال دارد (برای مثال [۱۰] و [۲۳]).

شاخص ایشی‌کاوا اولین بار توسط ایشی‌کاوا و همکاران [۲۴] به منظور بیان کمی شدت دگرسانی کلریتی و سریسیتی در کانسارهای سولفید توده‌ای نوع کروکو معرفی شد و سپس همراه با شاخص دگرسانی CCPI توسط [۹] و [۱۱] برای بررسی دگرسانی این دسته از کانسارها مورد استفاده قرار گرفت.

$$\text{شاخص ایشی‌کاوا} = \frac{100(K_2O + MgO)}{(K_2O + MgO + Na_2O + CaO)}$$

بيانگر نسبت عناصر اصلی کاسته شده و افزوده شده در طی دگرسانیهای کلریتی و سریسیتی است [۹]. از آنجا که شاخص دگرسانی ایشی‌کاوا در محاسبه دگرسانی کربناتی و جداسازی دگرسانیهای کلریتی و سریسیتی از یکدیگر ناتوان است، از شاخص دگرسانی کلریت-کربنات-پیریت $CCPI = \frac{100(MgO + FeO)}{(MgO + FeO + Na_2O + K_2O)}$ استفاده می‌شود

که قادر به تعیین MgO و FeO افزوده شده به سنگ در طی

کلریت یکی از فراوانترین محصولات دگرسانی گرمابی در منطقه مورد مطالعه است که به دو صورت پرکننده فضای خالی (شکل ۷ ت) و جانشینی (شکل ۷ ث و ث) در بطن کانیهای از قبل موجود مانند پیروکسن و پلازیوکلاز تظاهر دارد. این کانی به صورت تجمعات دانه‌ای و رشته‌ای ریز تا درشت‌دانه و با فراوانی حدود ۱۰ درصد حجمی قابل مشاهده است. کلریتی‌شدن سنگ دیواره به طور معمول در فاصله دور از رگه‌های کانی‌سازی به‌وقوع پیوسته که قابل مقایسه با کانسار گاسونوگ واقع در اندونزی [۱۰] می‌باشد. کلریت‌های مشاهده شده در منطقه مورد مطالعه بر مبنای غلظت اکسیدهای اصلی از نوع آهن دار می‌باشند.

اپیدوت به صورت تجمعات دانه‌ای ریزبلور (شکل ۷ ج) و با فراوانی کمتر از ۵ درصد حجمی یکی از محصولات دگرسانی گرمابی در نمونه‌های مورد بررسی است که به طور عمده به صورت پرکننده فضای خالی دیده می‌شود (شکل ۷ ج و چ). فراوانی این کانی همزمان با کلریت و کلسیت با دور شدن از رگه‌ها افزایش می‌یابد. این کانی در دمای بالاتر از ۲۵۰ درجه سانتی‌گراد و در حضور مقادیر زیاد CO_2 تشکیل می‌شود [۲۲].

کائولینیت یکی از محصولات دگرسانی گرمابی در سامانه‌های اپی‌ترمال است که در شرایط اسیدی و در دامنه دمایی ۱۵۰ تا ۲۰۰ درجه سانتی‌گراد [۲۲] بر اثر محلولهای گرمابی ماقمایی، محلولهای میان یافته از بخارهای داغ و یا محلولهای اسیدی ناشی از فرآیندهای برون‌زاد تشکیل می‌شود [۸]. در منطقه مورد مطالعه، کائولینیت در تعدادی از نمونه‌های مورد مطالعه به روش پراش پرتو ایکس شناسایی شد. این نمونه‌ها به طور عمده از پیرامون رگه‌ها و برشهای گرمابی تهیه شده که نسبت به سایر بخشها دارای سفیدشدنی آشکارتی می‌باشند و اغلب به صورت پوشش‌های سطحی نازک تظاهر دارند. با توجه به وجود شواهد جوشش از قبیل برشهای گرمابی (شکل ۳ پ و ت) و آدولاریا (شکل ۶ ب و پ) از یکسو و گسترش سطحی اکسیدها و هیدروکسیدهای آهن ثانویه از سوی دیگر، می‌توان تشکیل کائولینیت در منطقه مورد بررسی را به برهمنکش محلولهای ناشی از میان بخارات داغ با سنگ دیواره در بخش بالایی زون‌های جوشش و محلولهای اسیدی ناشی از فرآیندهای برون‌زاد نسبت داد. با توجه به عدم گسترش وسیع پوشش‌های کائولینیتی به نظر می‌رسد نفوذپذیری پایین سنگ

با افزایش AI است و بیشترین کاهش را می‌توان در نمونه شماره T14 مشاهده کرد که از شدت دگرسانی بالایی برخوردار است (شکل ۸ الف). این ویژگی یکی از مشخصات دگرسانی گرمابی در سامانه‌های اپی‌ترمال است [۴ و ۱۰]. بر مبنای مطالعات کانی‌شناسی، اغلب پلاژیوکلازهای سنگ دیواره به طی فرآیندهای دگرسان شده‌اند که می‌تواند میان کاهش CaO در محصولات دگرسانی گرمابی است ولی با پیشرفت دگرسانی و نزدیک شدن به رگهای فراوانی آن کاسته شده است.

جانشینی کلریت به جای آلبیت، فلدسپات پتاسیم و سریسیت می‌باشد.

محاسبه شاخص‌های دگرسانی در ۱۰ نمونه از سنگ‌های دگرسان شده در منطقه مورد مطالعه (جدول ۴) نشان‌دهنده تغییرات شاخص ایشی‌کاوا از ۲۲/۷ تا ۶۰/۸۶ و تغییرات شاخص CCPI از ۵۴/۸۲ تا ۷۶ است. برای بررسی تغییرات زمین‌شیمیایی مرتبط با دگرسانی گرمابی تغییرات غلظت اکسیدهای SiO₂, Fe₂O₃, K₂O, MgO, Na₂O و CaO در مقابله AI مورد بررسی قرار گرفت (شکل ۸). بررسی تغییرات CaO در مقابله AI نشان‌دهنده کاهش مقادیر CaO هم‌مان

جدول ۴. نتایج تجزیه شیمیایی سنگ‌های آتشفشاری در منطقه مورد مطالعه (مقادیر بر حسب درصد وزنی).

نمونه	T1	T3	T4	T5	T12	T14	T20	T28	T34	T36
SiO ₂	۵۰/۴۳	۵۰/۱۹	۵۰/۹۳	۵۰/۸۸	۵۱/۶۲	۶۵/۵۶	۵۲/۹۵	۴۹/۱۹	۴۸/۵۳	۵۱/۲۰
Al ₂ O ₃	۱۸/۷۱	۱۸/۷۲	۱۶/۱۱	۱۴/۷۰	۱۵/۱۶	۱۳/۵۰	۱۶/۸۵	۱۵/۰۰	۱۴/۷۳	۱۴/۳۵
Fe ₂ O ₃ (T)	۱۰/۶۳	۱۰/۲۵	۹/۴۰	۹/۹۱	۹/۷۱	۴/۱۸	۶/۹۶	۱۰/۵۷	۱۱/۱۹	۹/۲۶
MgO	۳/۴۳	۱/۴۱	۲/۲۱	۴/۰۴	۰/۶۹	۰/۶۰	۲/۱۸	۰/۸۱	۱/۵۱	۰/۷۰
MnO	۰/۱۲	۰/۱۲	۰/۱۲	۰/۱۰	۰/۱۰	< ۰/۰۱	۰/۱۱	۰/۱۲	۰/۱۰	۰/۰۹
CaO	۷/۳۴	۶/۸۵	۶/۹۹	۸/۴۴	۹/۹۳	۱/۴۰	۶/۴۷	۷/۰۱	۹/۱۱	۹/۰۷
Na ₂ O	۳/۷۸	۴/۳۰	۴/۵۷	۳/۷۹	۳/۰۵	۰/۴۰	۴/۶۳	۳/۱۷	۲/۲۹	۲/۷۵
K ₂ O	۲/۲۹	۲/۳۴	۳/۱۲	۲/۴۸	۳/۱۴	۲/۲۰	۲/۹۰	۲/۴۱	۱/۷۲	۲/۱۶
P ₂ O ₅	۰/۱۹	۰/۲۱	۰/۲۰	۰/۲۱	۰/۲۱	۰/۰۶	۰/۲۴	۰/۲۰	۰/۱۸	۰/۱۷
L.O.I	۲/۹۹	۳/۶۹	۲/۸۷	۲/۵۲	۴/۲۷	۹/۹۶	۳/۲۰	۴/۰۵	۴/۴۰	۵/۱۶
Total	۹۹/۹۱	۹۸/۰۸	۹۶/۵۲	۹۷/۰۷	۹۷/۸۸	۹۷/۸۶	۹۶/۲۹	۹۲/۵۳	۹۲/۷۶	۹۴/۹۱
AI	۳۲/۹۶	۲۵/۱۶	۳۱/۵۵	۳۴/۷۷	۲۲/۷۸	۶۰/۸۶	۳۱/۳۹	۲۴/۰۲	۲۲/۷	۱۹/۴۸
CCPI	۶۹/۸۴	۶۳/۷۱	۶۰/۱۵	۶۸/۹۹	۶۲/۶۸	۶۴/۷۶	۵۴/۸۲	۶۷/۰۹	۷۶	۶۶/۹۸

اختصارات: AI = شاخص دگرسانی ایشی‌کاوا و CCPI = شاخص دگرسانی کلریت-کربنات-پیریت.

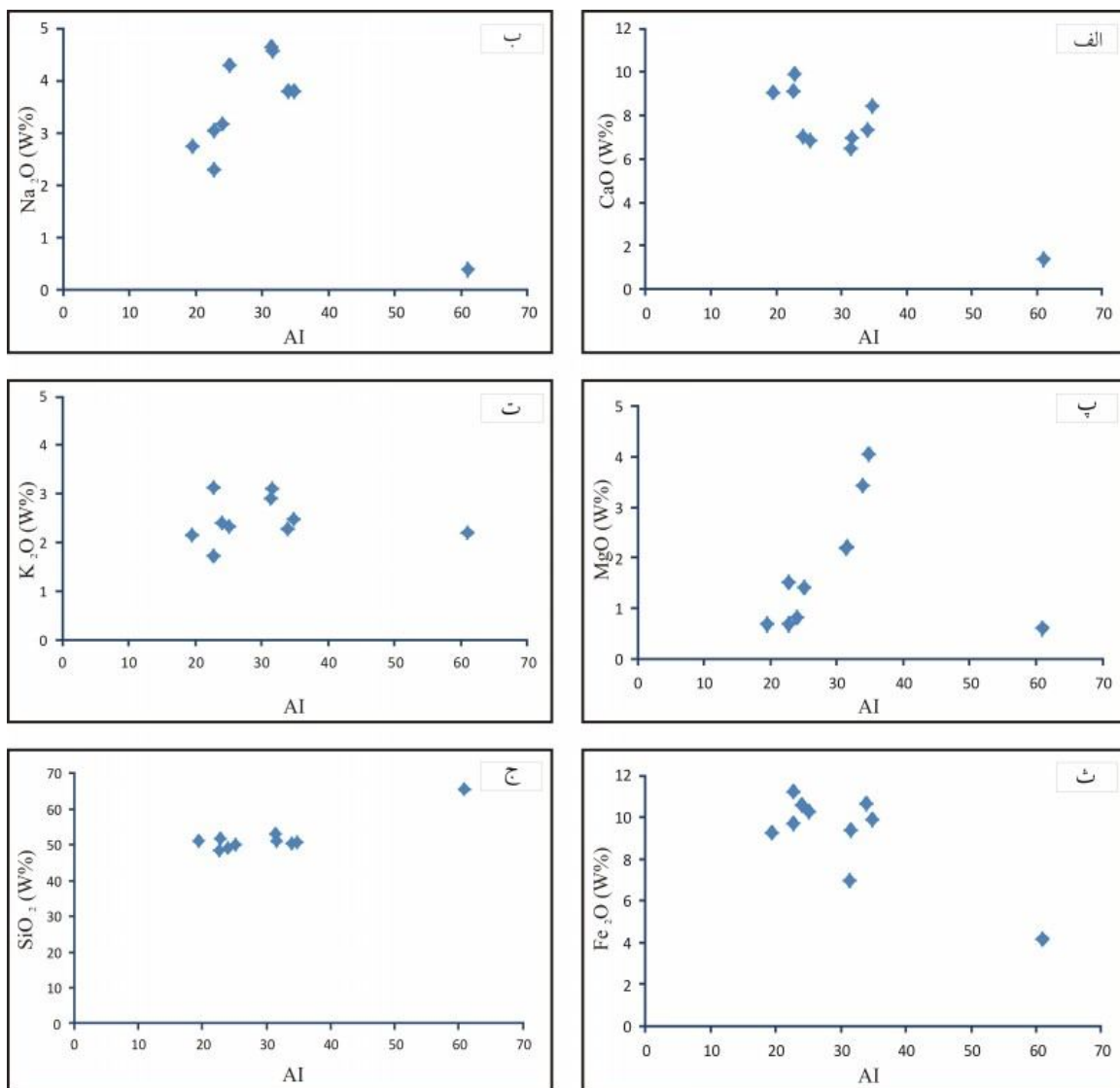
توسعه دگرسانی پروپیلیتی همخوانی دارد. در نمودار K₂O در مقابل AI روند کاهشی مورد انتظار که در مناطق دگرسانی گرمابی اغلب کانسارهای اپی‌ترمال گزارش شده، مشاهده نمی‌شود (شکل ۸ ت) که می‌توان آن را به نوع ترکیب کانی‌شناسی سنگ دیواره غالباً آندزیتی، عدم تشکیل آدولاریا به علت کمبود پتاسیم [۱۰] در سنگ دیواره و گسترش وسیع و توسعه یافته دگرسانی پروپیلیتی نسبت داد. بررسی نمودار FeO در مقابل AI تغییرات مشخصی را نشان نداده و حکایت از روند تقریباً یکنواخت و ثابت آن در برابر AI دارد (شکل ۸). بررسی تغییرات SiO₂ در مقابل AI نشانگر روند کم و بیش افزایشی آن می‌باشد (شکل ۸ ج) که با حضور کوارتزهای

نمودار Na₂O در مقابل AI روند کاهش مورد انتظار برای Na₂O را به جز نمونه T14 نشان نمی‌دهد (شکل ۸ ب). روند کاهشی Na₂O یکی از ویژگیهای دگرسانی گرمابی در کانسارهای اپی‌ترمال است [۱۰ و ۲۵]، که در صورت گسترش و توسعه مناطق دگرسانی می‌توان آن را به کمک مطالعات زمین‌شیمیایی آشکار نمود. عدم مشاهده این روند در نمونه‌های مورد مطالعه می‌تواند نشانگر گسترش وسیع دگرسانی پروپیلیتی و عدم توسعه کامل سایر مناطق دگرسانی باشد.

بررسی تغییرات MgO در مقابل AI نشانگر روند افزایشی آن است (شکل ۸ پ) که با حضور کلریت در اغلب نمونه‌ها و

و سیلیسی دارای گسترش و توسعه‌یافته‌گی کمتر مگر در نزدیکی رگه‌ها می‌باشند.

گرمابی به صورت پرکننده و جانشینی همخوانی دارد. بر اساس نمودارهای مورد بررسی، دگرسانی قالب در سامانه گرمابی تجربه از نوع پروپیلیتی است و دگرسانیهای سریستی



شکل ۸. نمودار تغییرات Fe_2O_3 , MgO , CaO , K_2O , Na_2O و Si_2O در برابر شاخص دگرسانی ایشی کاوا (AI).

میکروسکپی و کائی‌شناسی همخوانی دارد. این روندهای پیشنهاددهنده دگرسانیهای پروپیلیتی، سریستی و سیلیسی است که در این میان دگرسانی پروپیلتی از وسعت بیشتری برخوردار است.

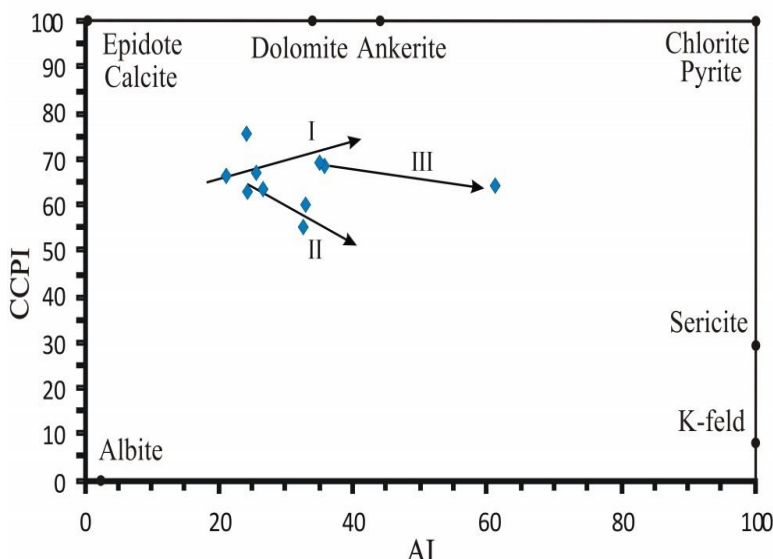
برداشت

سامانه رگه‌ای تجربه از رگه‌ها، رگه‌چه‌ها و برشهای گرمابی است که به صورت شکافه‌پرکن در مجموعه‌ای

بر مبنای نمودار جعبه‌ای دگرسانی (شکل ۹)، اغلب نمونه‌های مورد مطالعه در محدوده $20 - 60 = \text{CCPI} = 50 - 80$ و $\text{AI} = 20 - 60$ قرار می‌گیرند. بر اساس موقعیت کائینهای آلیت، سریست، فلدسپات پتاسیک، کلریت، پیریت، دولومیت، آنکریت و اپیدوت بر روی نمودار جعبه‌ای دگرسانی [۹]، می‌توان سه روند اصلی دگرسانی شامل کلریت-سریست-پیریت (روند I)، کربنات-سریست (روند II) و سریست (روند III) را برای این نمونه‌ها تعیین نمود که با نتایج مطالعات

کانی شناسی کانسنگ ساده و شامل کوارتز، کلسیت، پیریت، کالکوپیریت، مگنتیت و محصولات دگرسانی بروزنزد آنها است.

از سنگهای آتشفسانی آندزیتی و داسیتی منتب به ائوسن تشکیل شده است. توزیع مکانی رگه‌ها و انطباق آنها با گسلها و شکستگیها نشانگر کنترل ساختاری کانی‌سازی است.



شکل ۹. نمودار جعبه‌ای دگرسانی [شاخص دگرسانی ایشی‌کاوا (AI) در مقابل شاخص دگرسانی کلریت-کربنات-پیریت (CCPI)] برای داده‌های تجزیه شیمیایی منطقه مورد مطالعه. روندهای اصلی دگرسانی توسط روندهای I، II و III نشان داده شده است.

زون‌های وادوز که در طی جوشش محلول گرمابی از آن جدا می‌شوند، باعث تشکیل آبهای اسیدی می‌گردد [۸]. این آبهای اسیدی براثر واکنش با سنگهای دیواره، باعث تشکیل پوشش نازکی از کائولینیت در بخش بالای سامانه رگه‌ای مورد مطالعه شده‌اند.

تلفیق یافته‌های زمین‌شناسی، کانی‌شناسی و زمین‌شیمیایی نشان‌دهنده تشکیل سامانه‌ی رگه‌ای تجرود در یک محیط اپی‌ترمال نوع سولفیدی‌شدن پایین است. این یافته‌ها پیشنهاد‌کننده حضور محلولهای با pH نزدیک به خنثی تا کمی قلیایی به عنوان محلول گرمابی غالب و آبهای اسیدی ناشی از میان بخارات داغ در سامانه گرمابی مورد مطالعه‌اند که براثر خردشگی هیدرولیکی و رخداد پدیده جوشش از محلول گرمابی اصلی جدا شده‌اند.

مراجع

- [1] Simmons S. F., White N. C., and John D. A., "Geological characteristics of epithermal precious and base metal deposits", Economic Geology 100th Anniversary (2005) 485-522.

دگرسانی گرمابی سنگ دیواره در منطقه مورد مطالعه، از مجموعه‌های دگرسانی سیلیسی، سریسیتی، پروپیلیتی و رسی تشکیل یافته که در نزدیکی رگه‌ها از شدت بیشتری برخوردار است. بررسی شاخصهای دگرسانی در این منطقه بیانگر تغییرات شاخص ایشی‌کاوا از ۲۲/۷۸ تا ۶۰/۸۶ و تغییرات شاخص CCPI از ۵۴/۸۲ تا ۷۶ است. پیاده سازی این شاخصها بر روی نمودار جعبه‌ای دگرسانی نشان‌دهنده سه روند اصلی دگرسانی شامل کلریت-سریسیت-پیریت، کربنات-سریسیت و سریسیتی است که با نتایج کانی‌شناسی همخوانی دارد.

نتایج حاصل از مطالعات کانی‌شناسی و دگرسانی گرمابی در سامانه رگه‌ای تجرود بیانگر نقش محلولهای گرمابی با pH نزدیک به خنثی تا کمی قلیایی [۱] است. بر اساس شواهد بافتی و کانی‌شناسی، این محلولها در بخشی از سرگذشت خود متتحمل جوشش و سردشگی شده‌اند. جوشش بر اثر افت ناگهانی فشار به‌موقع پیوسته که با حضور برشهای گرمابی، آدولاریا و کوارتز ریزدانه در منطقه مورد مطالعه مشخص می‌شود. میان مواد فرار و بخارات داغ غنی از CO_2 در

- Tasmanian, Australian", Economic Ggeology* 87 (1992) 620-649.
- [۱۲] نادری میقان ن.، شجایی کاوه ن.، بهمند، م.، خیری ف.، " نقشه زمین‌شناسی شامکان (مقیاس ۱:۱۰۰۰۰۰)"، سازمان زمین‌شناسی و اکتشافات معدنی کشور، (۱۳۷۷).
- [۱۳] جعفری م.، سدید س.، "گزارش اکتشافات ژئوشیمیایی سیستماتیک ۱:۲۵۰۰۰ منطقه تجرود"، سازمان زمین‌شناسی و اکتشافات معدنی منطقه شمال شرق کشور، (۱۳۸۹)، منتشر نشده، ۱۶۵ ص.
- [۱۴] Edgar H. B., Rollin E. F., "Selective staining of *k-feldspar* and *plagioclase* on rock slabs and thin sections", *the American Mineralogist* 45 (1960) 1020-1025.
- [۱۵] Lensch G., "Major element geochemistry of the ophiolites north of Sabzevar (Iran)", *Neues Jahrbuch Fur Geologie und Palontologi, Monatshefte* 7 (1979) 415-447.
- [۱۶] Lensch G., Mihm A., Alavi-Tehrani N., "Petrography and geology of the ophiolite belt north of Sabzevar/Khorasan (Iran)", *Neues Jahrbuch Fur Mineralogie, Abhandlungen* 131 (1977) 156-178.
- [۱۷] Spices O., Lench G., Mihm A., "Geochemistry of the post -ophiolitic Tertiary volcanic between Sabzevar and Quchan/NE-Iran", *Geological survey of Iran* 51 (1983) 247-267.
- [۱۸] Shojaat B., Hassanipak A. A., Mobasher K., Ghazi A. M., "Petrology, geochemistry and tectonics of the Sabzevar ophiolite, North Central Iran", *Journal of Asian Earth Sciences* 21, Issue 9 (2003) 1053-1067.
- [۱۹] De Ronde C.E.J., Blattner P., "Hydrothermal Alteration, Stable Isotopes, and Fluid Inclusions of the Golden Cross Epithermal Gold-Silver Deposit, Waihi, New Zealand", *Society of Economic Geologists* 83 (1988) 895-917.
- [۲۰] Albinson T., Norman D. I., Cole D., Chomiak B. "Controls on formation of low-sulfidation epithermal deposits in Mexico: Constraints from fluid inclusion and stable isotope data" , *Society of Economic Geology* 8 (2001) 1-32.
- [۲۱] Camprubi A, Ferrari L., Cosca M. A., Cardellach E., Canals A., "Ages of Epithermal Deposits in Mexico: Regional Significance and Links with the Evolution of Tertiary Volcanism", *Economic Geology* 98 (2003) 1029-1037.
- [۲] Lagat J., "Hydrothermal Altretion Mineralogy in Geothermal Fields with Case Exampels from Olkaria Domes Geothermal Field, Kenia, Presented at Short Course II on Surface Exploration for Geothermal Resources, organized by UNU-GTP and KenGen", at Lake Naivasha, Kenya (2007) 2-17.
- [۳] Heaker C. A., Van der meer F. D., "Characterization of Hydrothermal Alteration in Mount Berecha Area of Main Ethiopian Rift using Hyperspectral Data", *Oluwadebi Ayomiposi Grace* (2011) 1-75.
- [۴] Simmons S. E., Browne P., "Hydrothermal minerals and precious metals in the Broadland-Ohaaki Geothermal system; Implication for understanding low- sulfidation epithermal environments", *Economic Geology* 95 (2000) 971-1000.
- [۵] Mauk J. L., Simpson M., "Geochemistry and stable isotope composition of altered rocks at the Golden Cross epithermal Au-Ag deposit, New Zealand", *Economic Geology* 102 (2007) 841-871.
- [۶] Warren I., Simmons S. F., Mauk J. L., "Whole rock geochemical techniques for evaluating hydrothermal alteration, mass changes, and compositional with epithermal Au-Ag mineralization", *Economic Geology* 102 (2007) 923-948.
- [۷] White N. C., Hedenquist J. W., "Epithermal Gold Deposits: Styles, Characteristics and Exploration", *Society of Economic Geologists* 23 (1995) 9-13.
- [۸] Hedenquist J. W., Arribas R. A., Urien E. G. "Exploration for Epitermal Gold Deposite", *Society of Economic Geologist* 13 (2000) 245-277.
- [۹] Large R. R., Gemmell J. B., Paulick H., Huston D., "The alteration box plot: a simple approach to understanding the relationship between alteration mineralogy and lithogeochemistry associated with VHMS deposite", *Economic Geology* 96 (2001) 957-972.
- [۱۰] Gemmell J. B., "Hydrothermal Alteration Associated with the Gosowong Epithermal Au-Ag Deposit, Halmahera, Indonesia: Mineralogy, Geochemistry, and Exploration Implications", *Society of Economic Geologists* 102 (2007) 893-922.
- [۱۱] Gemmell J. B., Large R. R., "Stringer system and alteration zones underlying the Hellyer volcanic-hosted massive sulfide deposit,

Kuroko deposits based on modes of volcanism of underling dasite and alteration halos, Mining Geology 26 (1976) 105-117 (in Japanese with English abs).

[25] Simmons S. F., Browne P. R. L., "Mineralogic, alteration and fluid inclusion studies of epithermal gold-bearing veins at the Mt. Muro prospect, Central Kalimantan (Borneo), Indonesia", Journal of Geochemical Exploration 35 (1990) 63–104.

[۲۲] زراسوندی ع.، "اطلس دگرسانی: راهنمای مطالعات صحرایی و میکروسکوپی برای کانیهای دگرسانی گرمابی"، انتشارات دانشگاه شهید چمران، (۱۳۸۶) ۱۲۱ ص.

[۲۳] احمدی م. ح.، "دگرسانی گرمابی و کانی‌سازی فلزات پایه و گرانبها در منطقه مطرآباد، جنوب غربی بختیاری: بر پایه داده‌های کانی‌شناسی، زمین‌شیمیایی و سنجش از دور"، پایان‌نامه کارشناسی ارشد، منتشر نشده، (۱۳۹۰)، ۱۲۰ ص.

[24] Ishikava y., Sawaguchi T., Iway S., Horiuchi M., "Delineation of prospecting targets for

Archive of SID